Astrolab BOLDI V ASTROLAB

0200HO10209 JABIR x EPIC x MAN-O-MAN

BOLDI V S G EPIC ASTER

Dam

COYNE-FARMS JABIR
BOLDI V S G EPIC ASTER VG-85-2YR-CAN 6*
GENERVATIONS EPIC
VELTHUIS SG MOM ALESIA VG-87-2YR-CAN 23*
LONG-LANGS OMAN OMAN
ALLYNDALE-I GOLDWYN ALBANY VG-87-2YR-CAN 14*

GTPI 2380

TD TR TL TY TV — HH1F HH2F HH3F HH4F HH5F HH6F HCDF HMWF

Num.Reg #: HOCANM11880901	aAa:	DMS:
Nacimiento: 12/01/2013	Kappa Caseina: AB	Beta Caseina: A1A2

PRODUCCION 73 Rebaños 132 Hijas 91% Rep. MACE-G / 04-25

Leche lbs **-85**	Grasa lbs **-33**	Grasa % **-0.11**	Proteína lbs **-10**	Proteína % **-0.03**
NM$ **-148**	CM$ **-154**	FM$ **-132**	GM$ **-131**	DWP$
Eficiencia de Conversiòn **-121**	IR **15**	Comida Ahorrada **-327**	Eficiencia Metano **102**	

SALUD Y REPRODUCCIÓN — **Immunity 102**

Vida Productiva	**1.8**	Inmunidad crias	**97**
Células Somáticas	**2.75**	Tasa Preñez Vacas	**3.9**
Fertilidad de las Hijas	**3.6**	Tasa Preñez Novillas	**1.7**
Durabilidad	**1.2**	Facilidad de Parto	**2.2%** 72% Rep.
Durabilidad Novillas	**1.0**	Facilidad de Parto de las Hijas	**1.8%** 70% Rep.
Indice de Fertilidad	**3.3**	Crías del Toro que Nacen Muertas	**5.8%**
		Crías de las Hijas que Nacen Muertas	**5.2%**

TIPO 59 Rebaños 95 Hijas 85% Rep. MACE / 04-25

PTAT	**-0.28**	Estruct. y Capacidad	**1.92**
Compuesto Ubres	**-0.85**	Estruct. Lechera	**-1.31**
Compuesto Patas	**-0.07**		

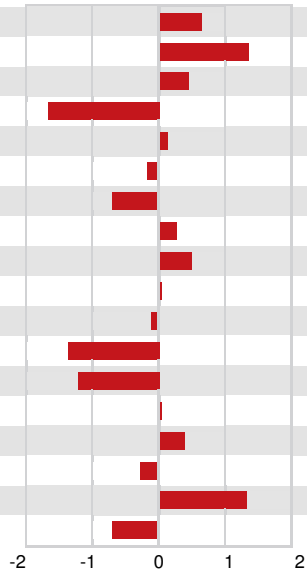

Estatura	Alta	**+0.68**
Fortaleza	Fuerte	**+1.36**
Profundidad Corporal	Profunda	**+0.48**
Estructura Lechera	Cost. Cerradas	**-1.65**
Ángulo de Grupa	Isq. Bajos	**+0.12**
Anchura Grupa	Estrecha	**-0.17**
Patas Vista Lateral	Rectas	**-0.69**
Patas Vista Posterior	Aplomadas	**+0.28**
Ángulo Podal	Profundo	**+0.50**
Colocación de las Patas	Correcta	**+0.01**
Inserción Anterior	Débil	**-0.11**
Altura Inserción Posterior	Baja	**-1.38**
Anchura Inserción Posterior	Estrecha	**-1.19**
Ligamento Suspensor	Fuerte	**+0.01**
Profundidad Ubre	Recogida	**+0.41**
Colocación Pezones Anteriores	Abiertos	**-0.25**
Longitud de Pezones	Largos	**+1.35**
Colocación Pezones Posteriores	Abiertos	**-0.70**